



# Universidad de Los Andes

## Facultad de Ciencias



*Defensa de Tesis de Licenciatura:*

# *Comportamientos colectivos inducidos por diversidad en redes dinámicas*

*Br. Andrea Valdés*

*Tutor: Dr. Mario Cosenza*

---

*Centro de Física Fundamental  
Área de Caos y Sistemas Complejos  
[www.ciens.ula.ve/cff/caoticos](http://www.ciens.ula.ve/cff/caoticos)*



# ★ Comportamientos colectivos



[arxiv.org/abs/1005.1381v1](https://arxiv.org/abs/1005.1381v1) (9 May 2010)  
A Mathematical Model for the Dynamics and Synchronization of Cows.  
Jie Sun, Erik M. Bollt, Mason A. Porter, Marian S. Dawkins



# ★ Caos robusto

## Escenarios

### ◆ Mapas uniformes a trozos en 1-D

A. Potapov and M. K. Ali, Phy. Lett. A, 2000, 277(6): 310

$$x_{k+1} = |\tanh s(x_k - c)|$$

### ◆ Mapas unimodales uniformes en 1-D

M. Andrecut and M. K. Ali, Inter. J. Mod. Phys. B, 2001, 15(2): 177  
 M. Andrecut and M. K. Ali, Mod. Phys. Lett. B, 2001, 15(12-13): 391

$$f(x, \alpha) = \frac{1-x^\alpha-(1-x)^\alpha}{1-2^{1-\alpha}} \quad f(\phi(x), v) = \frac{1-v^{\pm\phi(x)}}{1-v^{\pm\phi(c)}}$$

### ◆ Mapas uniformes a trozos en 2-D

Z. Elhadj and J. C. Sprott., *A Unified Piecewise Smooth Chaotic Mapping that contains the Hénon and the Lozi Systems*, submitted

$$U(x, y) = \begin{cases} 1 - 1.4 f_\alpha(x) + y & f_\alpha(x) = \alpha|x| + (1-\alpha)x^2 \\ 0.3x & 0 \leq \alpha \leq 1 \end{cases}$$

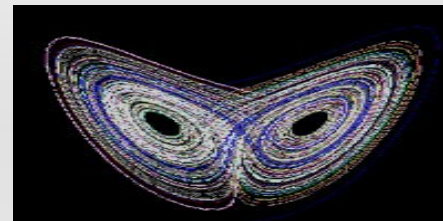
### ◆ Mapas no- uniformes

A. Priel and I. Kanter, Europhys. Lett., 2000, 51(2): 230

$$f(x) = \begin{cases} 1, & \text{if } w \cdot x + b > 0 \\ 0, & \text{else} \end{cases}$$

### ◆ Sistemas tipo-Lorenz

E. N. Lorenz, J. Atmos. Sci., 1963, 20:130



$$\begin{cases} \dot{x} = \sigma(y - x) \\ \dot{y} = rx - y - xz \\ \dot{z} = -bz + xy \end{cases}$$

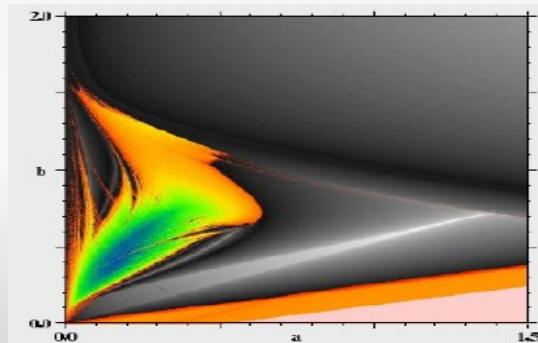
### ◆ Sistemas hiperbólicos

S. Kuznetsov and E. Seleznev, Journal of Experimental and Theoretical Physics, 2006, 102(2): 355

$$\begin{cases} \dot{x} = -2\pi u + (h_1 + A_1 \cos(2\pi\tau)/N)x - \frac{1}{3}x^3 \\ \dot{u} = 2\pi(x + \epsilon_2 y \cos(2\pi\tau)) \\ \dot{y} = -4\pi v + (h_2 - A_2 \cos(2\pi\tau)/N)y - \frac{1}{3}y^3 \\ \dot{v} = 4\pi(y + \epsilon_1 x^2) \end{cases}$$

### ◆ Modelo de Láseres

Gallas J., Int. J. of Bifurcation and Chaos, Vol. 20, No. 2 (2010) 197-211.



$$\begin{cases} \dot{x} = y \\ \dot{y} = x(1-z) - Bx^3 - by \\ \dot{z} = -a(z - x^2) \end{cases}$$

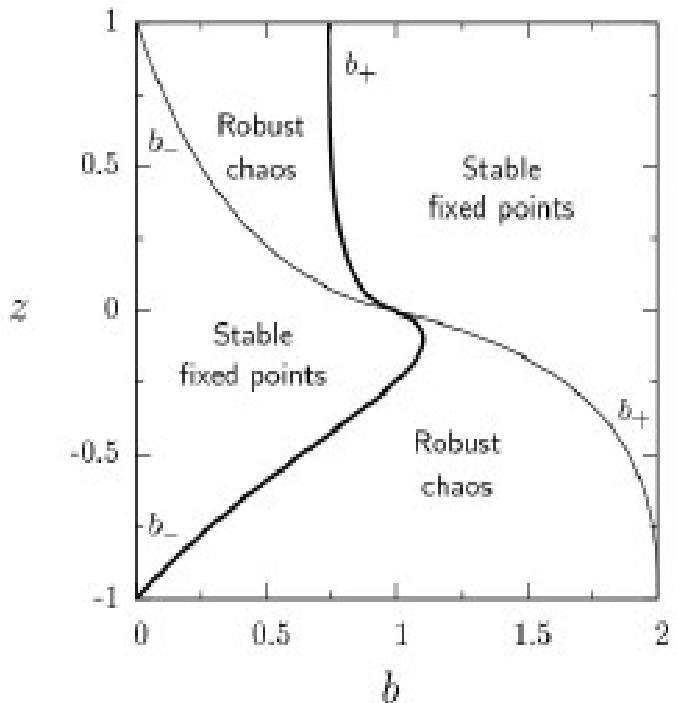
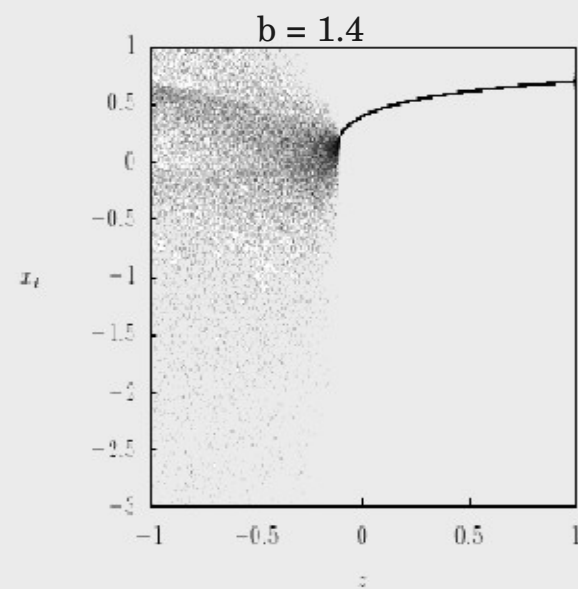
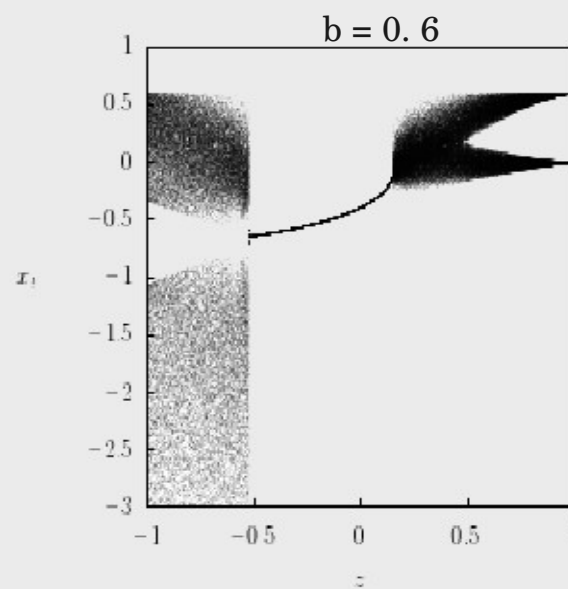
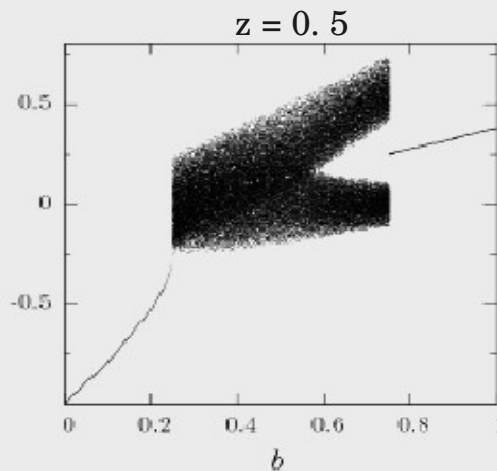
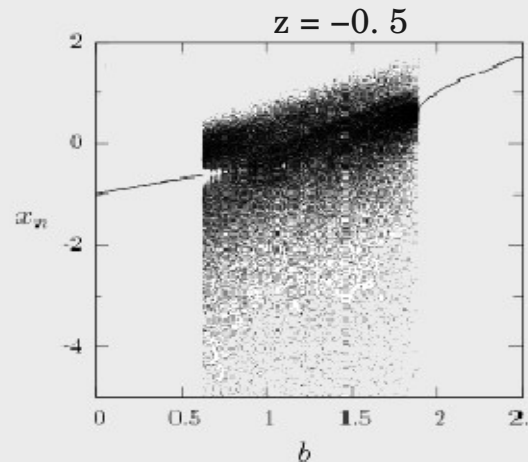
$$B=0$$

# ★ Escenario de caos robusto

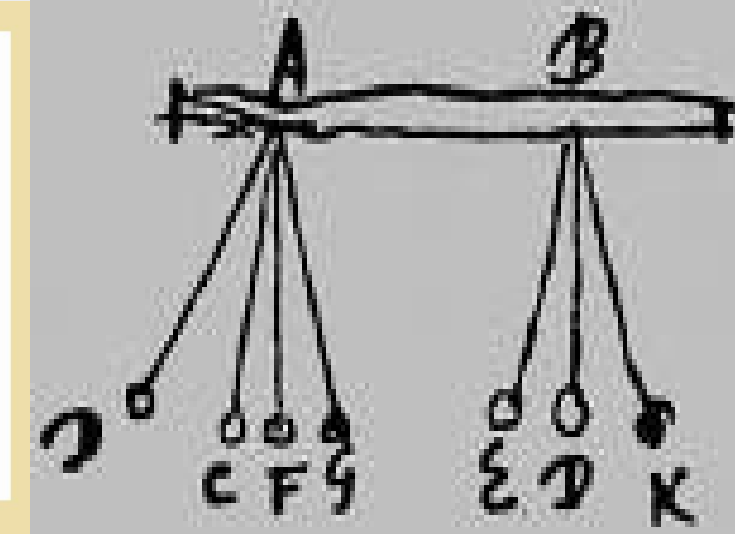
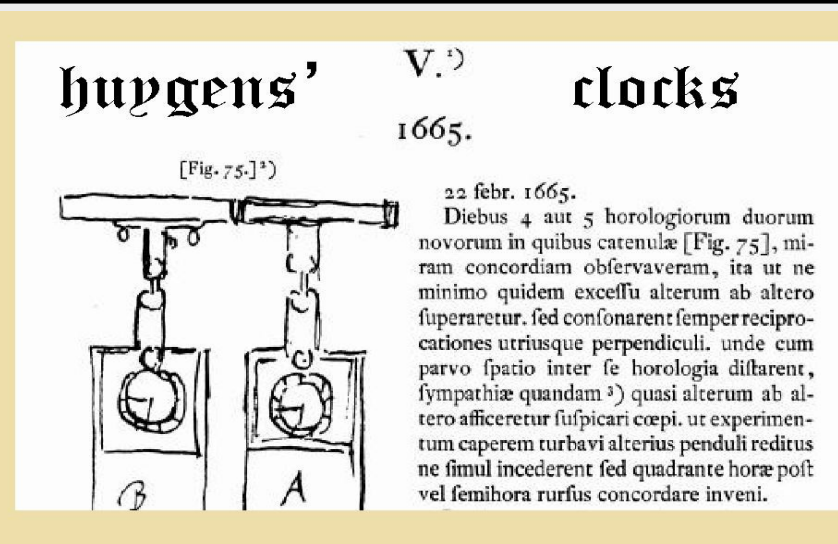
## Mapas Singulares

◆  $f(x_t) = b - |x_t|^z$

$$|z| < 1$$



# ★ Comportamientos colectivos en RMAG: Sincronización



$$\langle \sigma \rangle = \frac{1}{T - t_0} \sum_{t=t_0}^T \sigma_t$$

$$\sigma(t) = \sqrt{\langle x_t^2 \rangle - \langle x_t \rangle^2}$$

$$\langle x_t^2 \rangle = \frac{1}{N} \sum_{i=1}^N x_t^2(i)$$

$$\langle x_t \rangle = \frac{1}{N} \sum_{j=1}^N x_t(j)$$

- ◆ Condición para la sincronización:  $\langle \sigma \rangle = 0$   
 $\rightarrow x_t(i) = x_t(j), \quad \forall i, j$

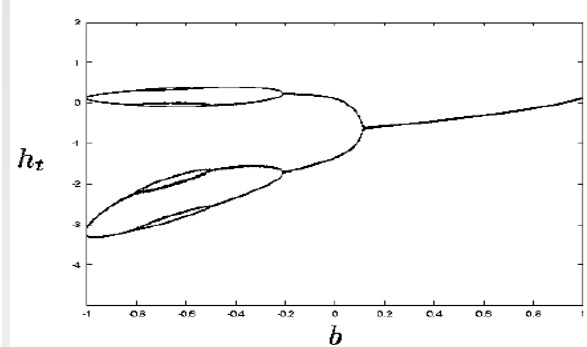
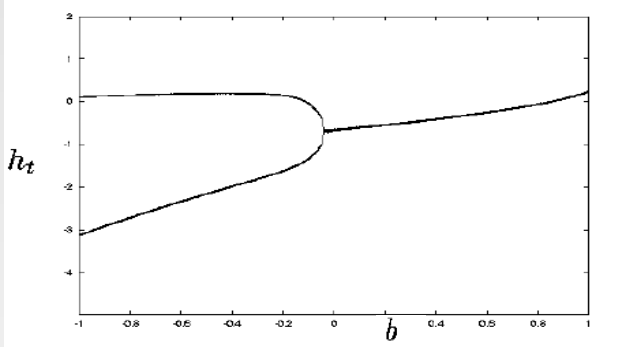
# ★ Comportamientos colectivos en RMAG: Estados desincronizados

Redes de mapas globalmente acoplados (RMAG)<sup>1</sup>

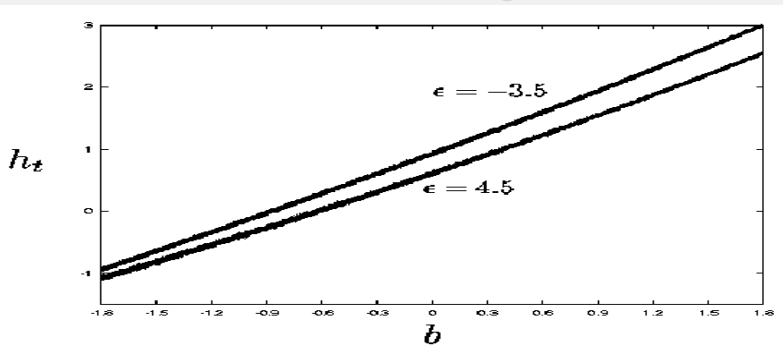
$$x_{t+1}(i) = (1 - \epsilon)f(x_t(i)) + \frac{\epsilon}{N} \sum_{j=1}^N f(x_t(j)) \quad (i = 1, 2, 3, \dots, N)$$

$$h_t = \frac{1}{N} \sum_{j=1}^N f(x_t(j))$$

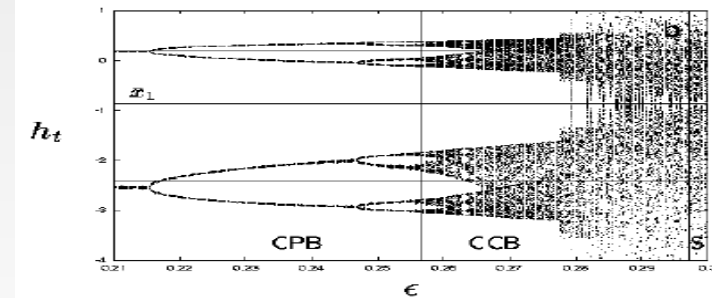
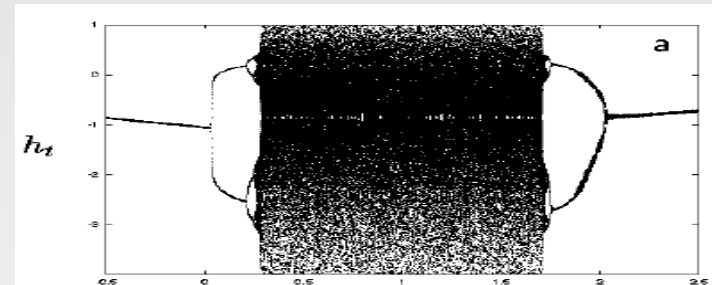
♦ Comportamientos colectivos periódicos<sup>2</sup>



♦ Turbulencia global<sup>2</sup>



♦ Bandas caóticas<sup>2</sup>



♦ Diagramas de bifurcación del campo medio de mapas logarítmicos:  $f(x_t) = b + \ln|x_t|$  globalmente acoplados en función de los parámetros  $b$  y  $\epsilon$ . En el caso homogéneo.

<sup>1</sup> K. Kaneko, Phys. Rev. Lett., 63, 219 (1989)

<sup>2</sup> M. G. Cosenza and J. González; Prog. Theor. Phys. 100, 21 (1998)

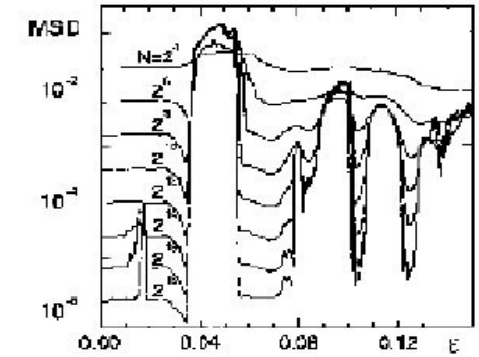
# ★ Antecedentes de la heterogeneidad en RMAG: Heterogeneidad con mapas logísticos

- ◆ Distribución del parámetro local  $a$  :

$$f_i(x) = 1 - a(i)x^2$$

$$a(i) = a_0 + \frac{\Delta a(2i - N)}{2N} \longrightarrow [a_0 - \frac{\Delta a}{2}, a_0 + \frac{\Delta a}{2}]$$

*“La DCM se mantiene finita para  $N$  grande”*



- ◆ Ruido interno :

$$f^i(y) = 1 - ay^2 + s(i)$$

$$\langle (\delta h)^2 \rangle = \langle (h - \langle h \rangle)^2 \rangle$$

*“El ruido induce la sincronización”*

- ◆ Distribución de los parámetros de acoplamiento  $\epsilon$  :

$$x_{t+1}(i) = (1 - \epsilon(i))f(x_t(i)) + \frac{\epsilon(i)}{N} \sum_{j=1}^N f(x_t(j))$$

$$\epsilon(i) = \epsilon_{min} + (\epsilon_{max} - \epsilon_{min})(i/N).$$

*“La formación de clusters depende de  $\epsilon$ ”*

- ◆ Ruido externo :

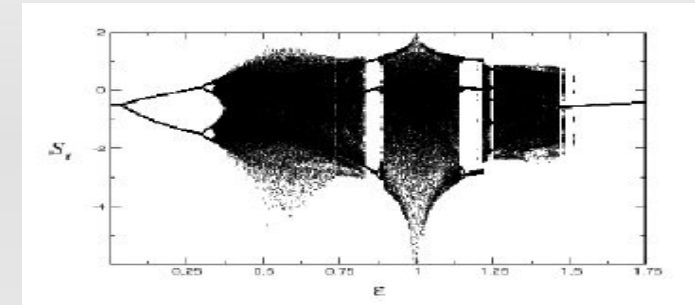
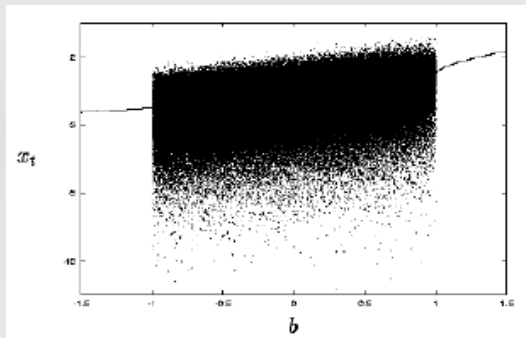
$$x_{t+1}(i) = (1 - \epsilon)f_i(x_t(i)) + \frac{\epsilon}{N} \sum_{j=1}^N f_j(x_t(j)) + \xi_t(i).$$

*“El ruido microscópico puede suprimir los grados de libertad en un nivel macroscópico”*

# ★ Antecedentes de la heterogeneidad en RMAG: Heterogeneidad con mapas logarítmicos

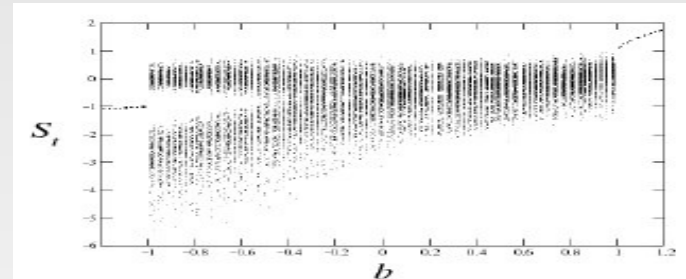
- ◆ Distribución del parámetro local  $b$ :

$$f_i(x_t) = b(i) + \ln |x_t|$$



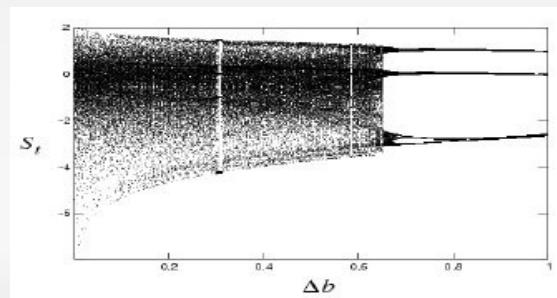
- ◆ Distribución del parámetro de acoplamiento  $\epsilon$ :

$$x_{t+1}(i) = (1 - \epsilon(i))f(x_t(i)) + \frac{\epsilon(i)}{N} \sum_{j=1}^N f(x_t(j))$$



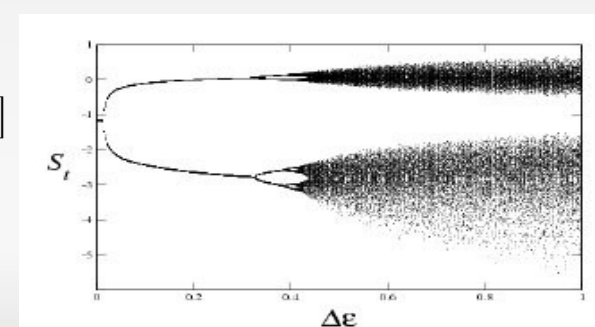
- ◆ Análisis del campo medio en función de  $\Delta b$ :

$$b(i) \in [-\Delta b, \Delta b] \\ (\Delta b = b_0 + h)$$



- ◆ Análisis del campo medio en función de  $\Delta \epsilon$ :

$$\epsilon(i) \in [-\Delta \epsilon, \Delta \epsilon] \\ (\Delta \epsilon = \epsilon_0 + h)$$

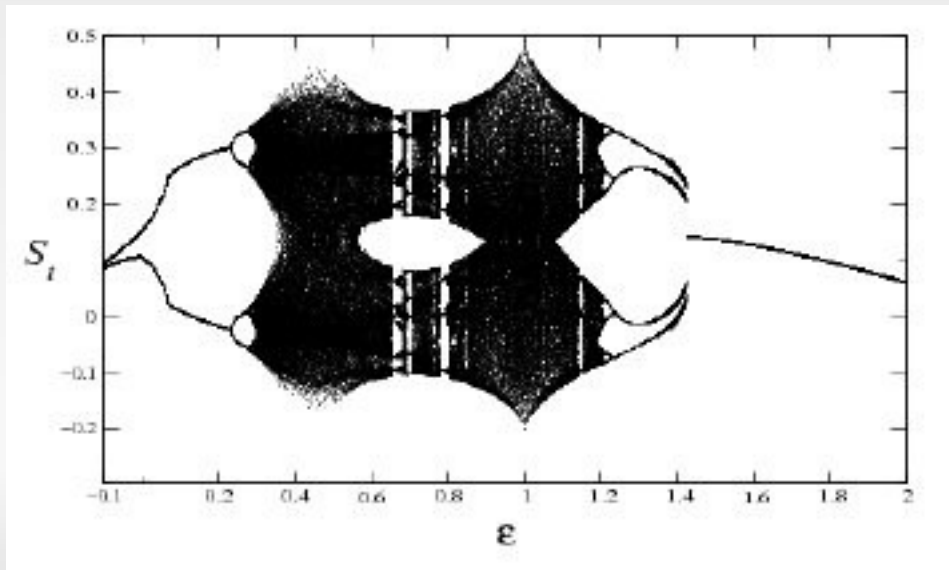
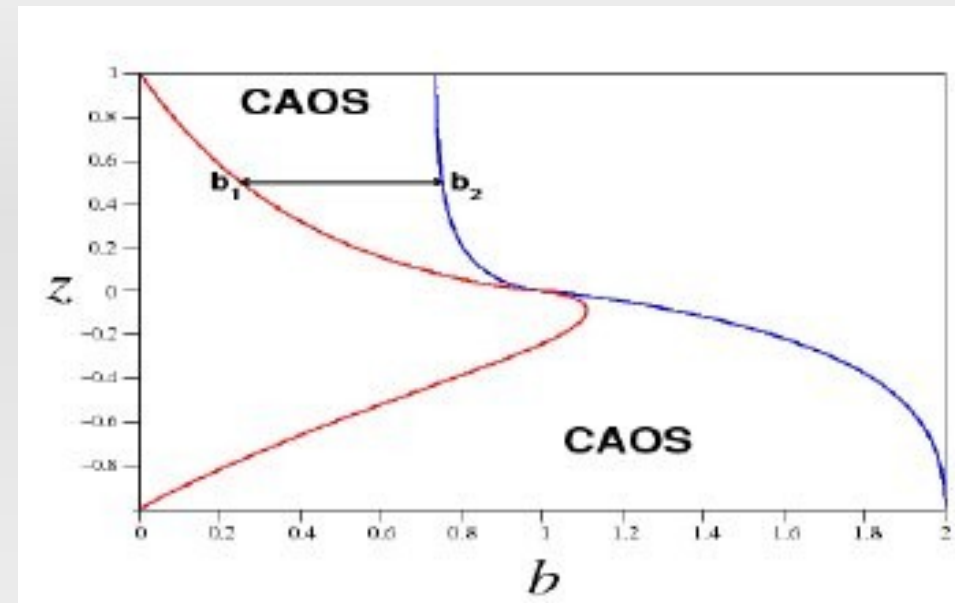


# ★ Antecedentes de la heterogeneidad en RMAG: *Heterogeneidad con mapas singulares*

- ♦ Distribución del parámetro local  $b$  :

$$f_i(x_t(i)) = b(i) - |x_t|^z$$

$$x_{t+1}(i) = (1 - \epsilon)f(x_t(i)) + \frac{\epsilon}{N} \sum_{j=1}^N f(x_t(j)) \quad (i = 1, 2, 3, \dots, N)$$



→ "cangrejo"

# ★ *Heterogeneidad en los acoplamientos de una RMAG de mapas singulares*

- ♦ Nuestro modelo con acoplamiento heterogéneo

$$x_{t+1}(i) = (1 - \epsilon(i))f(x_t(i)) + \frac{\epsilon(i)}{N} \sum_{j=1}^N f(x_t(j))$$

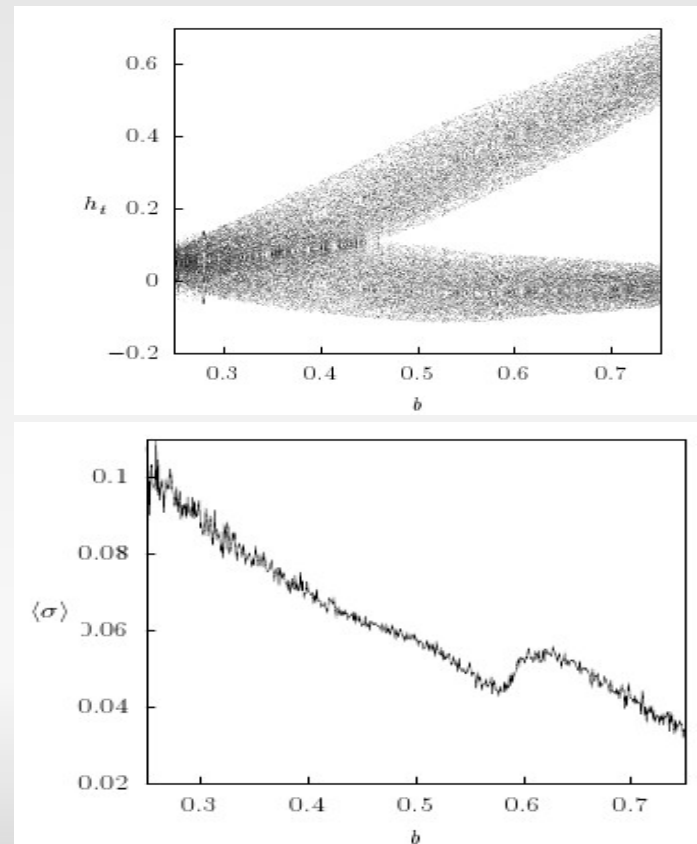
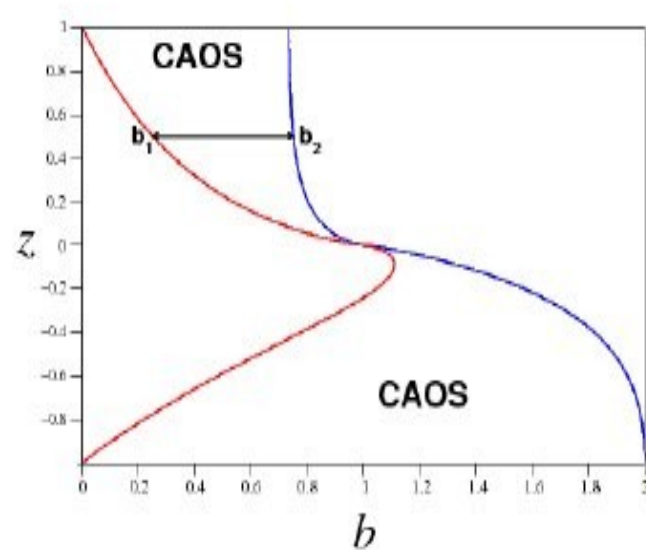
$$f(x_t) = b - |x_t|^z$$

- ★ Comportamientos colectivos en función de  $b$

$$\epsilon(i) \in [0, 2]$$

$$z = 0.5$$

$$[b_1 = 0.250, b_2 = 0.750]$$

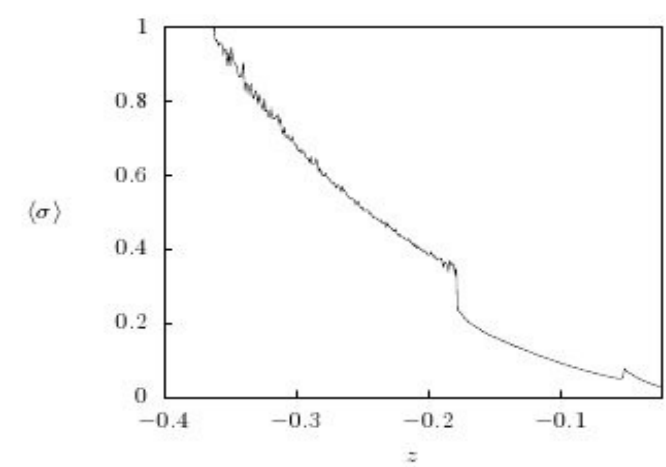
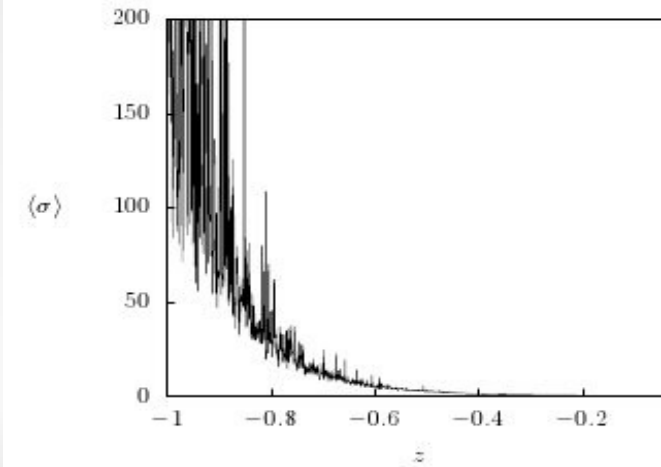
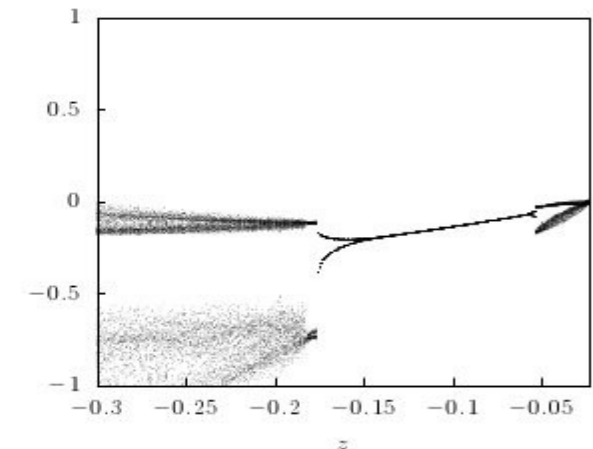
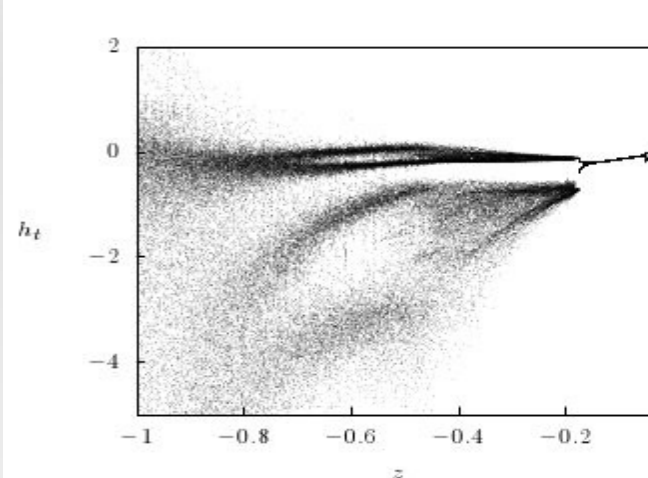
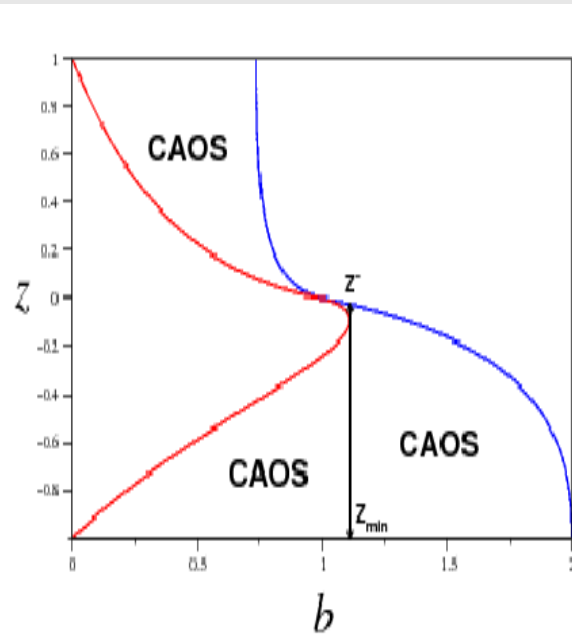


# ★ *Heterogeneidad en los acoplamientos de una RMAG de mapas singulares*

- ★ Comportamientos colectivos en función de  $z$

$$\epsilon(i) \in [-0.5, 2.5]$$

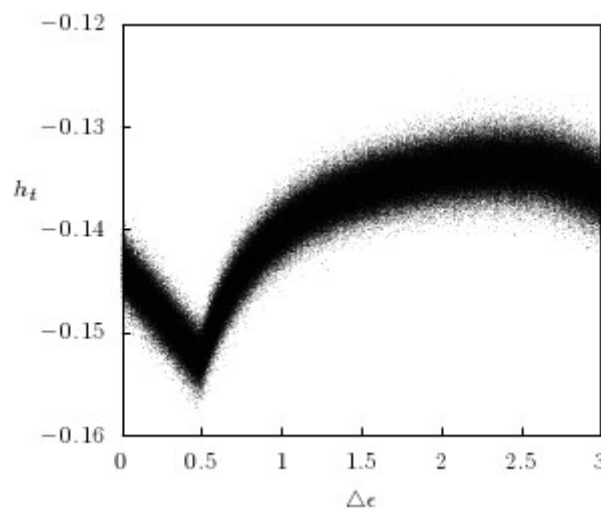
$$b = 1.11 \quad z \in [-1, -0.023]$$



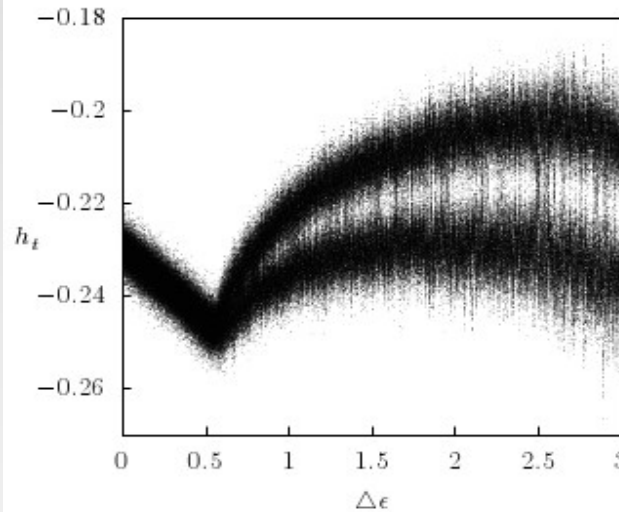
# ★ Influencia de la heterogeneidad en los acoplamientos de una RMAG de mapas singulares

$$\epsilon(i) = \epsilon_{min} + \Delta\epsilon \cdot \gamma \quad (\Delta\epsilon \in [0, \epsilon_{max} - \epsilon_{min}])$$

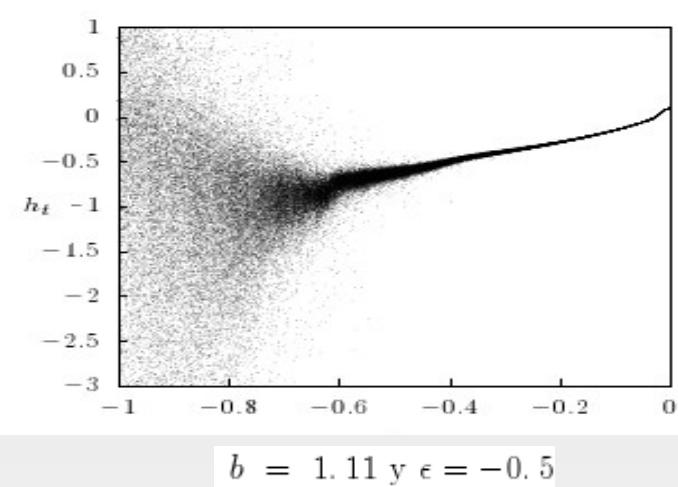
Con  $b = 1.11$  y  $z = -0.10$



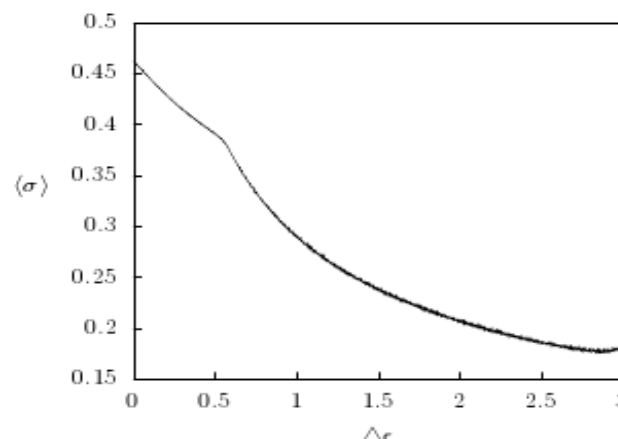
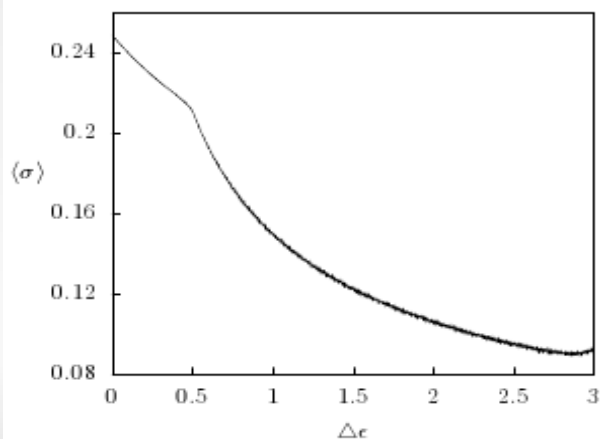
Con  $b = 1.11$  y  $z = -0.16$



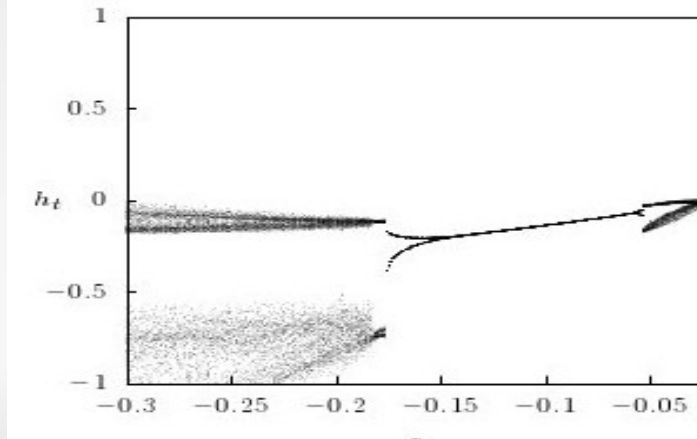
Campo medio  $h_t$  en función del exponente  $z$



$b = 1.11$  y  $\epsilon = -0.5$



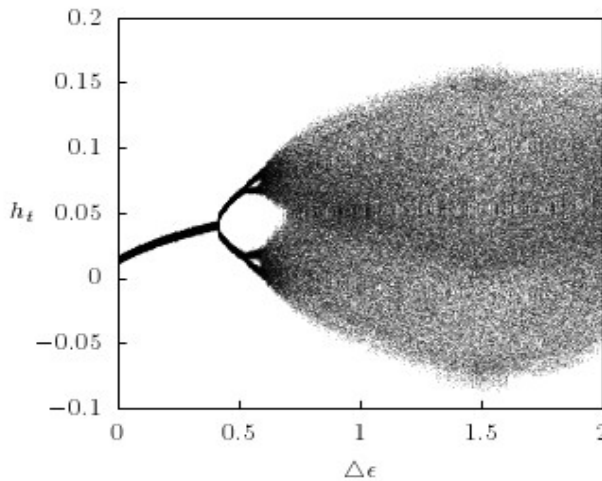
$[\epsilon_{min} = -0.5, \epsilon_{max} = 2.5]$



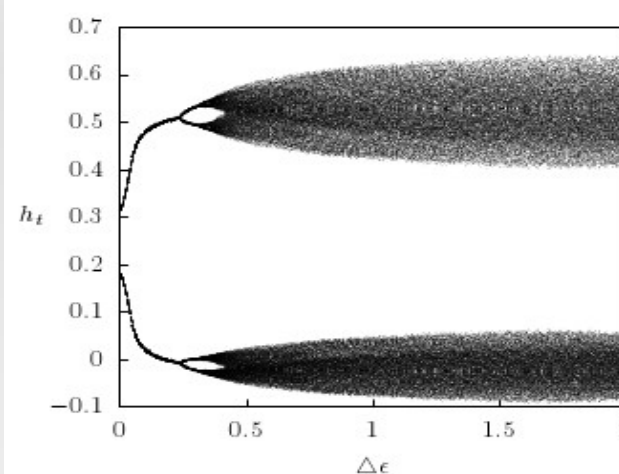
$b = 1.11 \quad \epsilon(i) \in [-0.5, 2.5]$

# ★ *Influencia de la heterogeneidad en los acoplamientos de una RMAG de mapas singulares*

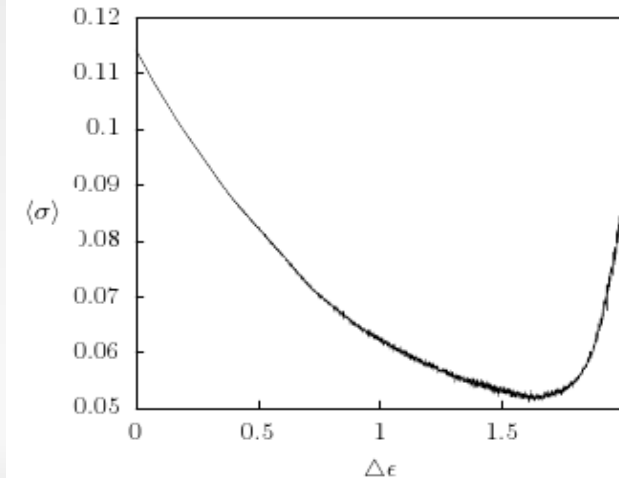
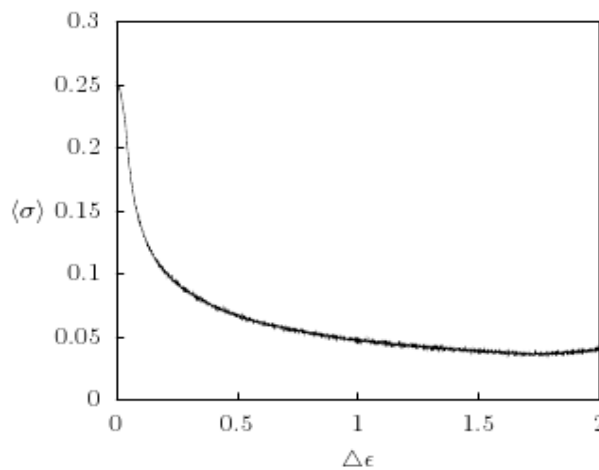
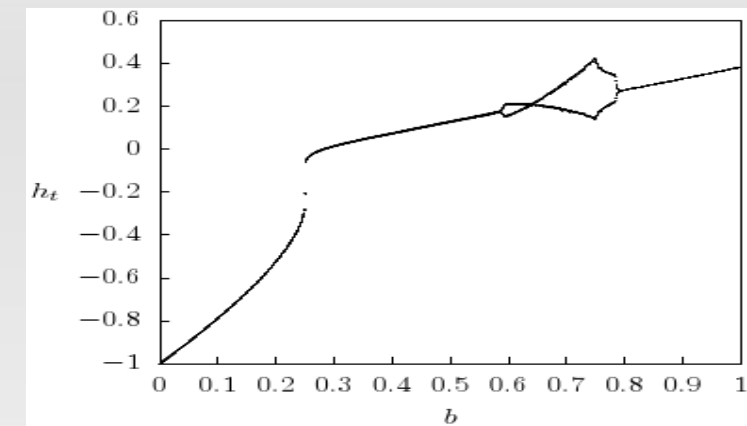
Con  $b = 0.3$  y  $z = 0.5$



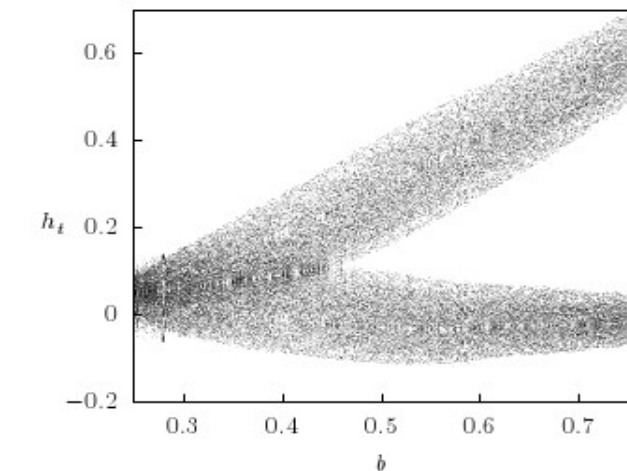
Con  $b = 0.7$  y  $z = 0.5$



Campo medio  $h_t$  en función del parámetro local  $b$



Con  $z = 0.5$  y  $\epsilon = 0$



$$[\epsilon_{min} = 0, \epsilon_{max} = 2]$$

$$z = 0.5 \quad \epsilon(i) \in [0, 2].$$

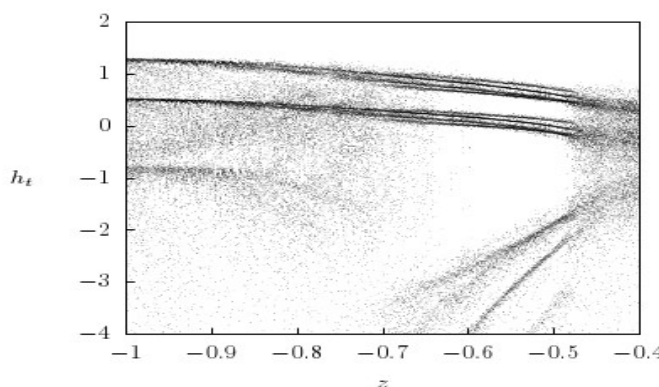
# ★ Heterogeneidad en el parámetro local $b$ de una RMAG de mapas singulares

- ◆ Nuestro modelo con dinámica local heterogénea

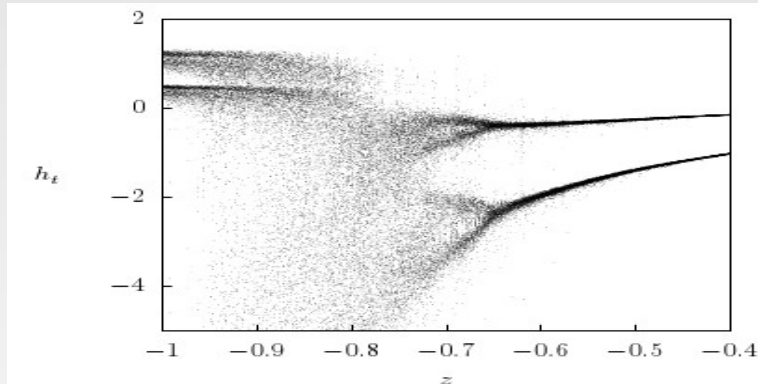
$$x_{t+1}(i) = (1 - \epsilon)f_i(x_t(i)) + \frac{\epsilon}{N} \sum_{j=1}^N f_j(x_t(j)) \quad (i = 1, 2, 3, \dots, N).$$

$$f_i(x_t(i)) = b(i) - \|x_t\|^z$$

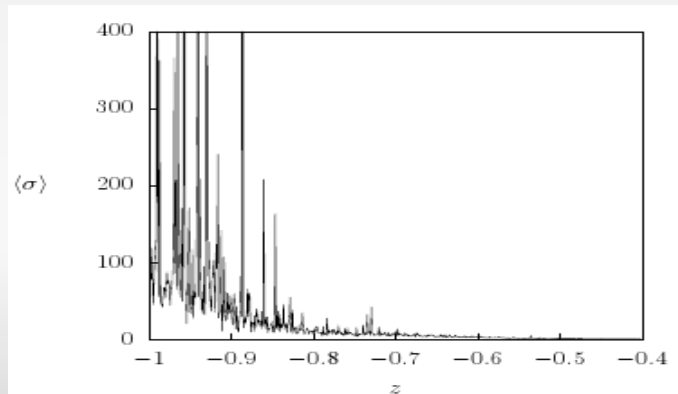
- ★ Comportamientos colectivos en función de  $z$



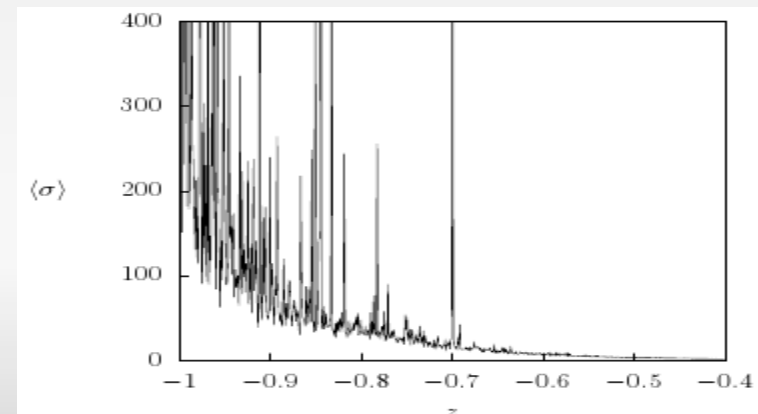
$$\epsilon = 0.5$$



$$\epsilon = 0.2$$



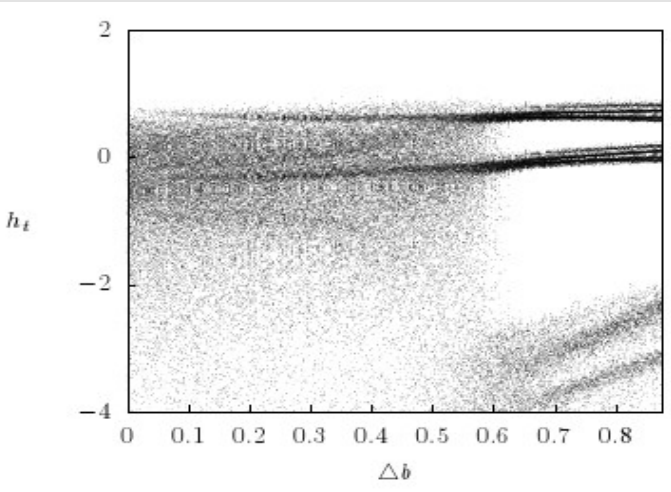
$$b(i) \in [0.875, 1.75]$$



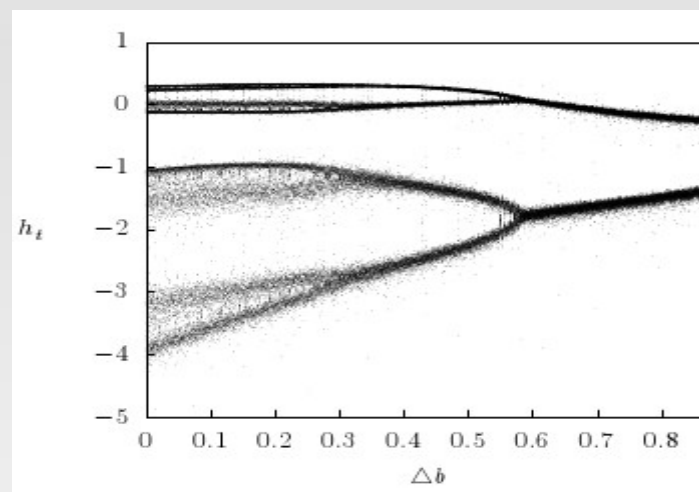
# ★ Influencia de la heterogeneidad en los parámetros locales $b$ de una RMAG de mapas singulares

$$b(i) = b_{min} + \Delta b \cdot \gamma, \quad \Delta b \in [0, b_{max} - b_{min}]$$

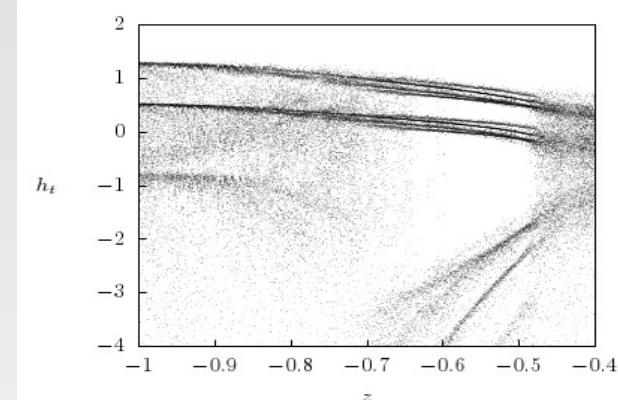
$$\epsilon = 0.5 \text{ y } z = -0.55$$



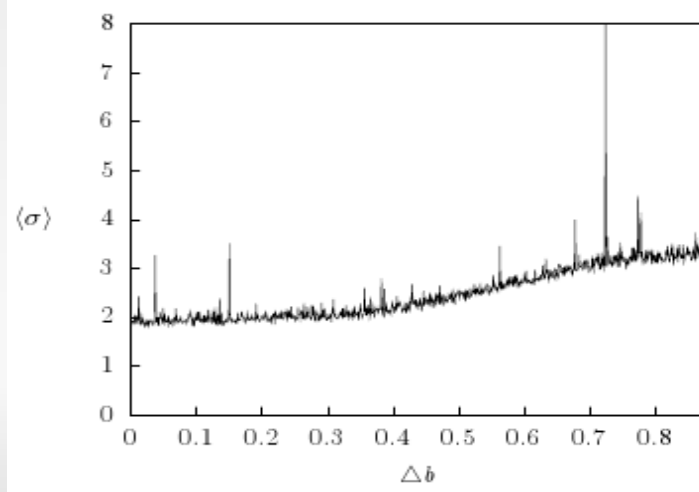
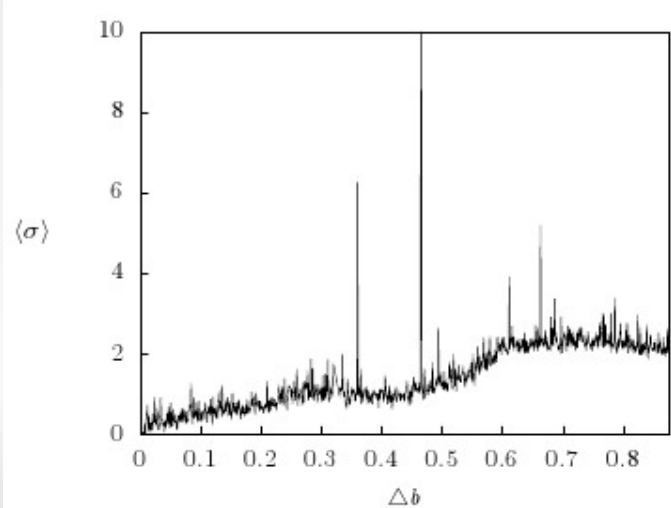
$$\epsilon = 0.2 \text{ y } z = -0.5$$



$$b(i) \in [0.875, 1.75]$$

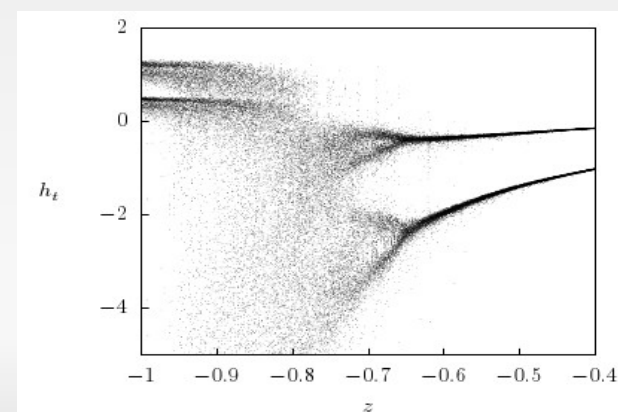


$$\epsilon = 0.5$$



$$[b_{min} = 0.875, \ b_{max} = 1.75]$$

$$\epsilon = 0.2$$

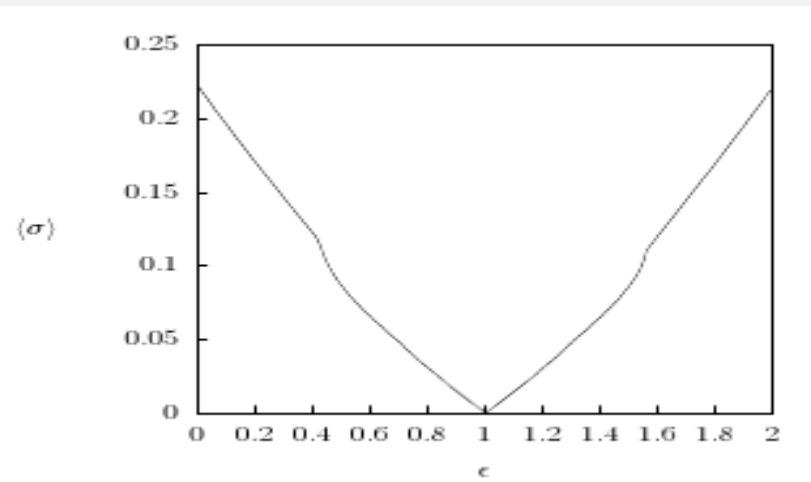
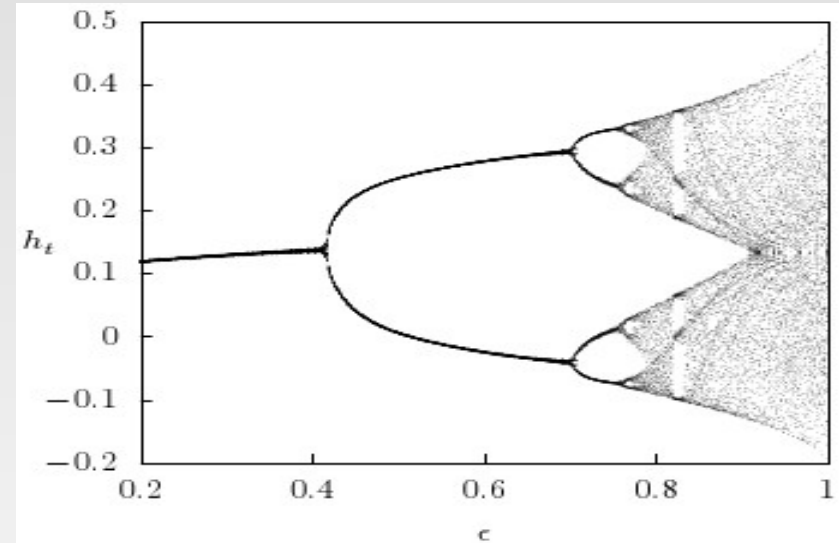
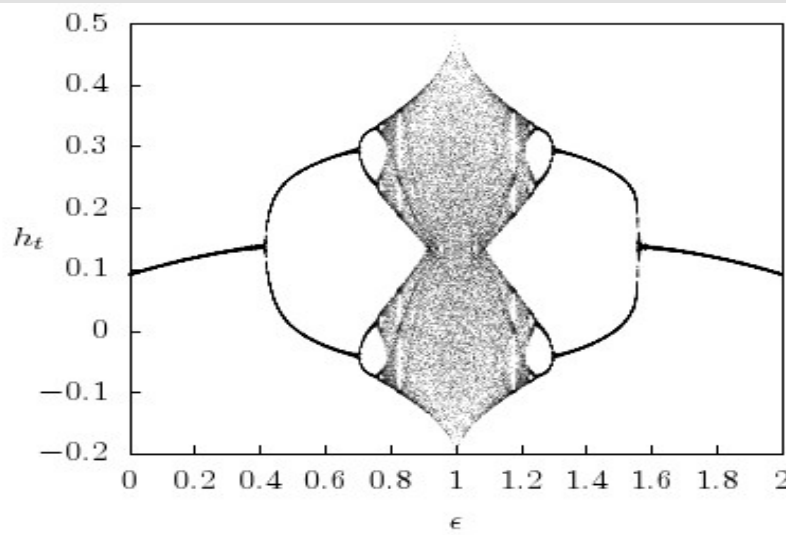


# ★ Heterogeneidad variable en el parámetro local $b$ de una RMAG de mapas singulares

★ Consideramos la dinámica local:

$$f_i(x_t(i)) = b_t(i) - \|x_t\|^z$$

$$x_{t+1}(i) = (1 - \epsilon)f_i(x_t(i)) + \frac{\epsilon}{N} \sum_{j=1}^N f_j(x_t(j)) \quad (i = 1, 2, 3, \dots, N).$$



$$b_t(i) \in [0.250, 0.750]$$

$$z = 0.5$$

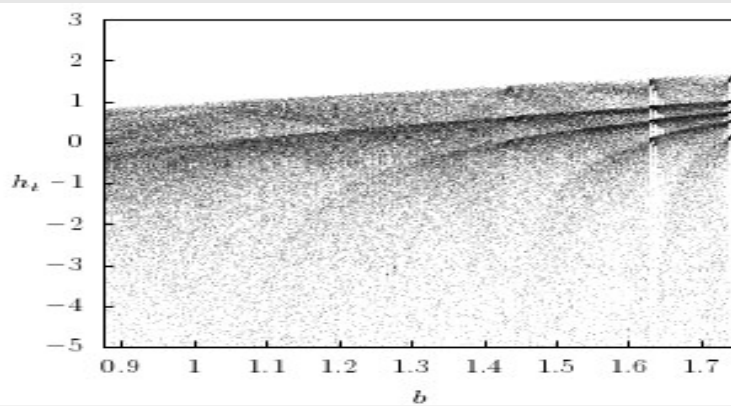
# ★ Heterogeneidad en el exponente $z$ de una RMAG de mapas singulares

- ◆ Nuestro modelo con exponente de singularidad heterogéneo

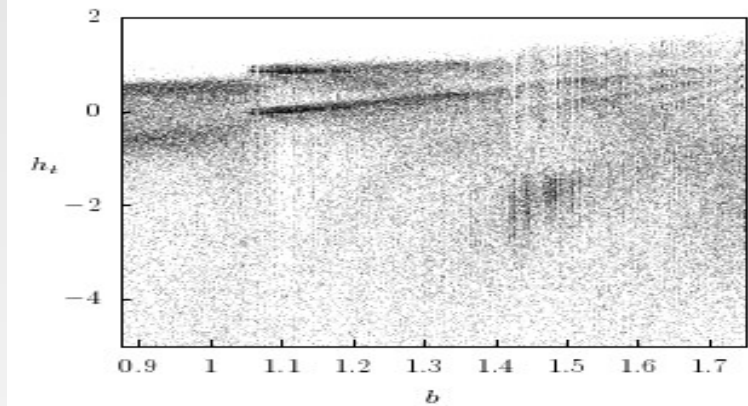
$$x_{t+1}(i) = (1 - \epsilon)f_i(x_t(i)) + \frac{\epsilon}{N} \sum_{j=1}^N f_j(x_t(j)) \quad (i = 1, 2, 3, \dots, N).$$

$$f_i(x_t(i)) = b - |x_t|^{z(i)}$$

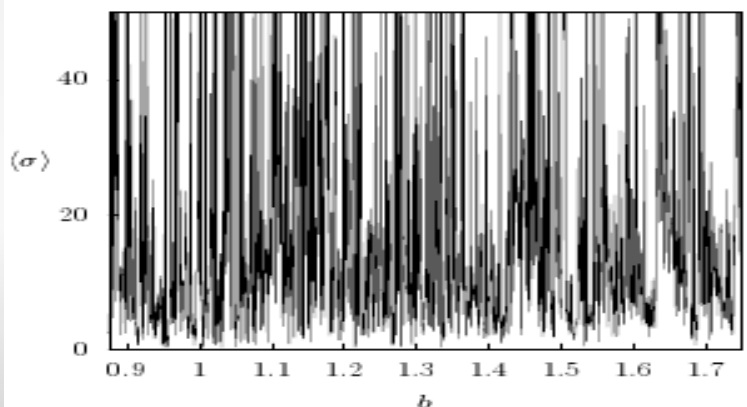
- ★ Comportamientos colectivos en función de  $b$



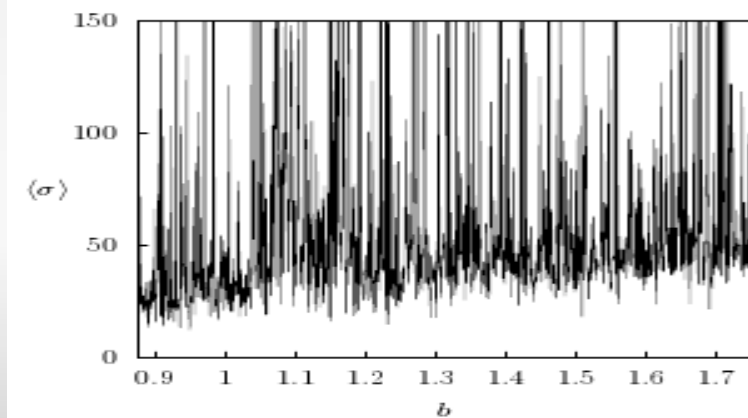
$$\epsilon = 0.5$$



$$\epsilon = 0.2$$



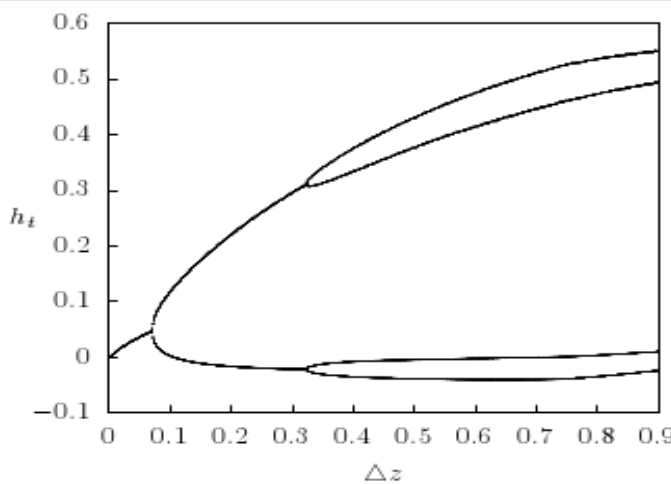
$$z(i) \in [-1, -0.4]$$



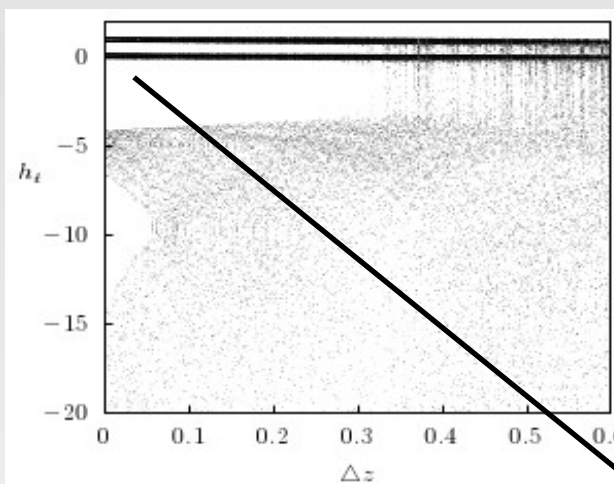
# ★ Influencia de la heterogeneidad en los exponentes $z$ de una RMAG de mapas singulares

$$z(i) = z_{min} + \Delta z \cdot \gamma \quad (\Delta z \in [0, z_{max} - z_{min}])$$

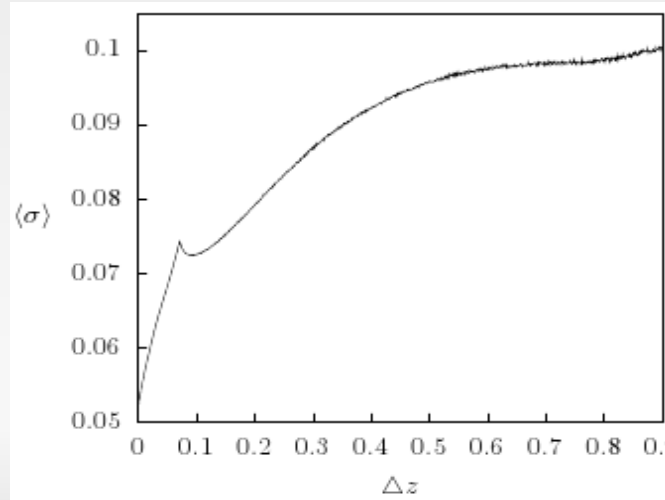
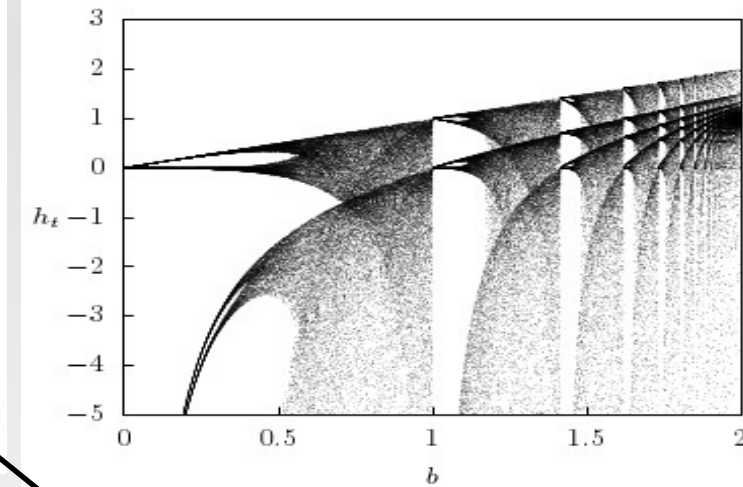
$b = 0.735$  y  $\epsilon = 0.2$



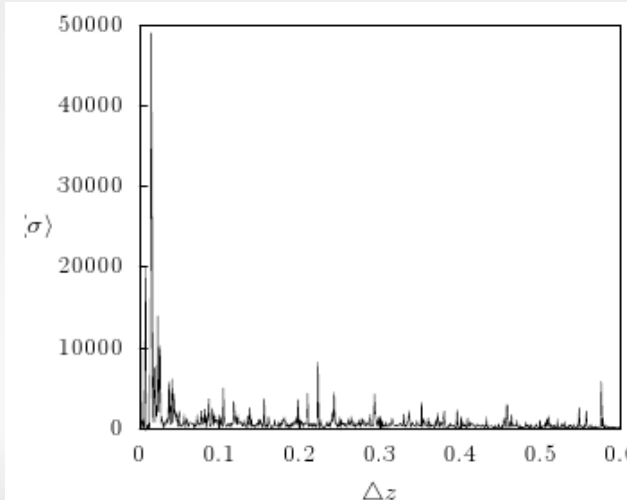
$b = 1.1$  y  $\epsilon = 0.2$



$\Delta z = 0$

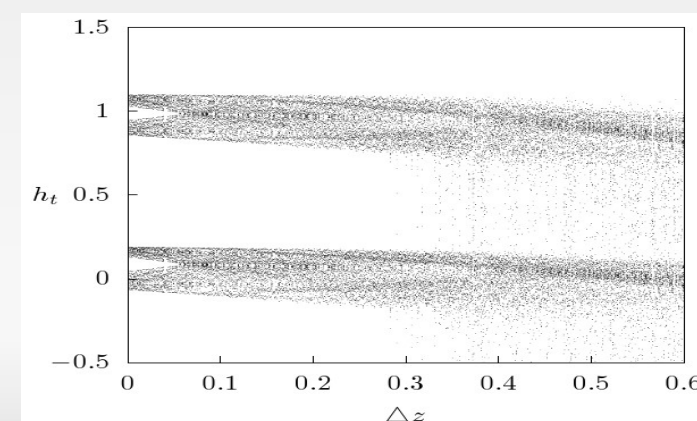


$[z_{min}=0.85, z_{max}=1]$



$[z_{min}=-1, z_{max}=-0.4]$

Con  $z = -1$  y  $\epsilon = 0.2$



# ★ Conclusiones

- ★ Los comportamientos colectivos que surgen en una RMAG, con dinámica local caótica, por lo general, son complejos, como consecuencia de las interacciones globales entre los elementos de la red.
- ★ La heterogeneidad en los acoplamientos entre los mapas singulares inducen comportamientos colectivos ordenados, además de favorecer la tendencia hacia la sincronización del sistema.
- ★ La heterogeneidad en los parámetros locales  $b$  puede favorecer la sincronización en ciertos rangos de valores del exponente  $z$ , y sin duda a la emergencia de comportamientos colectivos no triviales.
- ★ En ciertos casos, la heterogeneidad en los exponentes de singularidad  $z$  es capaz de inducir comportamientos colectivos periódicos no presentes en la dinámica local de los mapas.
- ★ La variabilidad temporal de los parámetros locales distribuidos, induce comportamientos colectivos ordenados en una red dinámica.